



فصلنامه علمی ((دفاع هوافضایی))

دوره ۱، شماره ۳، آذر ۱۴۰۱

عنوان مقالات

مقاله پژوهشی

افزایش امنیت طیف گسترده دنباله مستقیم با کاهش گلبرگ‌های فرعی ناشی از حذف

گسترش فیلترهای منطبق

محمد فرهمند راد^۱، حمید محسنی^۲، سید عطا سید بادامی^۳

۱-مدرس دانشکده مهندسی برق، دانشگاه پدافند هوایی خاتم‌الانبیاء(ص)، تهران، ایران

۲-دانشجوی دکتری برق، دانشکده مهندسی برق، دانشگاه پدافند هوایی خاتم‌الانبیاء(ص)، تهران، ایران.

۳-دانشجوی کارشناسی ارشد، دانشکده برق و کامپیوتر، دانشگاه تبریز، ایران.

چکیده

اطلاعات مقاله

آنچه موجب رشد روزافزون طیف گسترده شده است تنها به قابلیت طیف گسترده در استفاده اشتراکی از پهنای باند و خاصیت ضد تداخلی آن اشاره دارد، بلکه به دیگر مزایای طیف گسترده که استفاده از آن کیفیت بهتری را در کانال‌های ارتباطی جدید موجب می‌شود نیز اشاره دارد. از آنجائی که تکنیک طیف گسترده با توجه به میزان بهره‌پذاری ایمنی خوبی در مقابل اخلاص و تداخل ایجاد می‌کند، اما با بکارگیری روش‌هایی می‌تواند ضریب امینت آن را افزایش داد، که اصلی‌ترین مورد جهت بهبود امنیت آن کاهش بزرگ‌ترین گلبرگ‌های فرعی و همچنین تنزل مجموع کلیه گلبرگ‌های فرعی پس از عمل حذف گسترش و یا سنکرون سازی در گیرنده سامانه‌های طیف گسترده دنباله مستقیم است که از فیلتر منطبق جهت سنکرون سازی و حذف گسترش استفاده می‌کنند. این مقاله به یک روش جدید جهت کاهش بهتر میزان این گلبرگ‌ها، به همراه مقایسه سایر روش‌های متداول جهت افزایش امنیت سامانه‌های طیف گسترده می‌پردازد.

تاریخ پذیرش: ۱۴۰۱/۰۸/۳۰

تاریخ دریافت: ۱۴۰۱/۰۱/۲۲

کلمات کلیدی:

طیف گسترده، گلبرگ فرعی، سنکرون سازی، فیلتر منطبق، حذف گسترش، بهره‌پذاری.



نویسنده مسئول:

محمد فرهمند راد

ایمیل:

m_farahmand@khadu.ac.ir

استناد به مقاله: محمد فرهمند راد، حمید محسنی، سید عطا سید بادامی، افزایش امنیت طیف گسترده دنباله

مستقیم با کاهش گلبرگ‌های فرعی ناشی از حذف گسترش فیلترهای منطبق، مجله علمی دفاع هوافضایی دوره ۱، شماره ۳، آذر ۱۴۰۱.



reducing the side-lobe level that caused by despreading in receiver systems, which uses the matching filter to synchronize and despreading

Mohammad Farahmandrad¹, Hamid Mohseni², Seyed Ata Seyed Badami³

1. Electrical Engineering Department, Khatam Ol Anbia (PBU) University, Tehran, Iran.
2. Electrical Engineering Department, Khatam Ol Anbia (PBU) University, Tehran, Iran.
3. M.S student, Faculty of Electrical and Computer Engineering, University of Tabriz, Iran.

Article Information

Accepted: 1401/08/30

Received: 1401/01/22

Keywords:

Spread spectrum, Side-lobe, Synchronization, Match filter, Despreading, Processing gain.

Abstract

Spread spectrum facilitated the using of communication channels. Also it has improved signal privacy against noise jammers and interference. Although the privacy of spread spectrum technique is robust against signal jammers and interference with respect to its processing gain, but it can further be improved by side-lobe suppression and decreasing of side-lobe integration in spread spectrum systems that use match filter for synchronization and despreading of SS receivers. This paper will illustrate a new technique to improve the decrement of side-lobe in comparison with other common related methods such as amplitude weighting.



Corresponding author:

Mohammad Farahmandrad

Email:

m_farahmand@khadu.ac.ir

HOW TO CITE: Mohammad Farahmandrad, Hamid Mohseni, Seyed Ata Seyed Badami, reducing the side-lobe level that caused by despreading in receiver systems, which uses the matching filter to synchronize and despreading, Journal of Airspace Defense, Vol. 1, No, 3, 1401

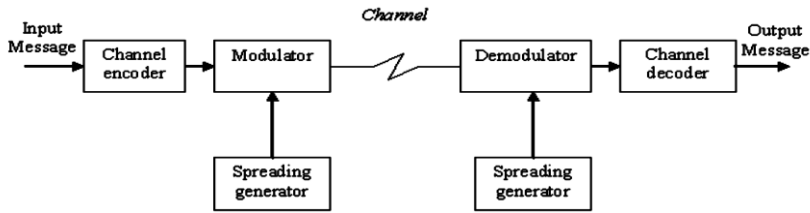
۱. مقدمه

طراحان سامانه‌های مخابراتی در گذشته و حال همواره به دنبال دستیابی به تکنیک‌های مدولاسیون و دمدولاسیونی هستند که نیازهای مخابراتی و ملاحظاتی مورد نظر آن‌ها را به بهترین صورت مرتفع سازند. اکثر این تکنیک‌ها سعی در بهینه‌سازی استفاده از یک یا هر دو پارامتر اصلی ارزیابی عملکرد سامانه‌های مخابراتی یعنی توان و پهنای باند داشته و هدف اصلی آن‌ها کاستن از احتمال خطای ارسال سیگنال از یک محل به محل دیگر، با فرض حضور نویز است.

در مخابرات طیف گسترده، پهنای باند سیگنال قبل از ارسال گسترش داده می‌شود به طوری که معمولاً تمام پهنای باند در دسترس کانال را اشغال می‌نماید. وقتی فقط یک کاربر از کانال استفاده نماید، این روش از نظر استفاده از پهنای باند کارا نیست؛ اما وقتی چندین کاربر وجود دارند، همگی می‌توانند از باند فرکانسی مشابهی استفاده نمایند. در این صورت، سیستم از نظر پهنای باند نیز کارایی داشته و هم‌زمان از مزایای طیف گسترده نیز استفاده می‌شود. همواره امنیت طیف گسترده از اصلی‌ترین چالش‌های مخابرات امن بوده و هست و لذا جهت دستیابی به این امنیت می‌بایست بهره‌برداری را افزایش داد اما دستیابی به بهره‌برداری بالا همواره در دسترس نیست. بعد از بهره‌برداری بهترین روش جهت ارتقاء امنیت طیف گسترده کاهش سایه‌های بعد از حذف گسترش است که در این مقاله به یک روش جدید جهت دستیابی به این مهم آن پرداخته خواهد شد.

۲. شمای کلی سیستم طیف گسترده

شکل ۱ نمودار کلی یک سیستم مخابرات طیف گسترده را نشان می‌دهد که می‌تواند برای ارسال زمینی یا ماهواره‌ای مورد استفاده قرار گیرد. اگر منبع اطلاعاتی آنالوگ باشد ابتدا در بلوک A/D به دیجیتال تبدیل می‌شود. در این مرحله می‌توان همانند سایر سامانه‌های مخابراتی از تکنیک‌های فشرده‌سازی اطلاعات برای حذف اطلاعات اضافی و روش‌های کدگذاری برای آشکار-سازی و تصحیح خطا استفاده نمود. سپس طیف سیگنال حاصل توسط یک دنباله شبه تصادفی گسترده شده و قبل از ارسال در کانال ارتباطی تقویت می‌شود. در کانال ارتباطی و صرف نظر از زمینی یا ماهواره‌ای بودن آن، نویز، تداخل و تضعیف وجود خواهد داشت. مدولاتور می‌تواند قبل از واحد گسترده‌کننده طیف یا پس از آن باشد و معمولاً این دو بخش به صورت واحد و در یک قسمت قرار می‌گیرند. در طرف گیرنده، برای بازسازی سیگنال اولیه پردازش‌های معکوس صورت می‌گیرد یعنی سیگنال، آشکار شده و طیف آن جمع می‌گردد و در صورتی که سیگنال آنالوگ باشد به واحد D/A منتقل می‌گردد.



شکل ۱: نمای بلوکی سیستم مخابرات طیف گسترده

استفاده از سامانه‌های طیف گسترده باعث بهبود کیفیت انتقال اطلاعات در سامانه‌های مخابراتی می‌شود. به‌طور کلی، مقدار بهبود کیفیتی که بر اثر استفاده از یک سیستم طیف گسترده بدست می‌آید بهره پردازش نامیده می‌شود. بهره پردازش را می‌توان به‌عنوان تفاوت میان عملکرد سامانه‌ای که از طیف گسترده استفاده می‌کند و عملکرد سامانه‌ای که از این تکنیک استفاده نمی‌کند، هنگامی که بقیه شرایط برای دو سیستم یکسان باشد تعریف نمود. بنابراین بهره پردازش پارامتری است که کیفیت سیستم طیف گسترده را نشان می‌دهد. سه رابطه رایج برای بهره پردازش عبارت‌اند از:

۱- نسبت SNR خروجی به SNR ورودی بعد از فیلتر کردن نهایی:

$$\text{Processing Gain Or Spread Factor} = \frac{SNR_{out}}{SNR_{in}} \quad (1)$$

۲- نسبت پهنای باند سیگنال گسترده شده به نرخ ارسال اطلاعات:

$$PG = SF = \frac{BW_{in}}{R_b} \quad (2)$$

۳- نسبت پهنای باند سیگنال گسترده شده به پهنای باند پیام مدوله‌شده:

$$PG = SF = \frac{BW_{in}}{BW_{out}} \quad (3)$$

پارامتر بهره پردازش اصلی‌ترین عامل ایمنی سامانه طیف گسترده در برابر اختلال و تداخل است اما دو عامل کمکی دیگر که بعد از حذف گسترش حاصل می‌شوند به بررسی امنیت طیف گسترده در مقابل اختلال و تداخل اشاره دارند که عبارت‌اند از:

۱- میزان سطح توان سیگنال اصلی حذف گسترش یافته به توان سیگنال گلبرگ‌های کناری

۲- میزان سطح توان کلیه گلبرگ‌های فرعی ناشی از حذف گسترش

در حقیقت توان گلبرگ‌های فرعی کناری نشان‌دهنده میزان سیگنال عبوری اخلال و یا تداخلی است که دارای بالاترین مقدار تابع همبستگی متقابل با سیگنال اصلی طیف گسترده ارسالی است.

یکی از پرکاربردترین روش‌های حذف گسترش و سنکرون سازی در طیف گسترده استفاده از فیلتر منطبق است که در خروجی این فیلتر نیز گلبرگ‌های کناری نیز تشکیل می‌شود و بسته به نوع کدهای دنباله ارسالی میزان این گلبرگ‌ها متفاوت است. متداول‌ترین روش، جهت کاهش این گلبرگ‌های کناری استفاده از تکنیک وزن‌دهی است، که قبل و یا حین حذف گسترش در فیلتر منطبق صورت می‌پذیرد.

متداول‌ترین روش‌های وزن‌دهی در حذف گسترش‌های مدولاسیون فرکانسی عبارت‌اند از:

جدول ۱: روش‌های وزن‌دهی در حذف گسترش‌های مدولاسیون فرکانسی

Weighting function	Peak Sidelobe dB	Loss dB	Mainlobe Width (relative)
Without Window	-13.5	0	1.0
$0.33+0.66\cos^2(\pi f/B)$	-25.7	0.55	1.23
$\cos^2(\pi f/B)$	-31.7	1.76	1.65
Taylor (n = 8)	-40	1.14	1.41
Dolph – Chebyshev	-40	0	1.35
$0.08+0.92\cos^2(\pi f/B)$ (Hamming)	-42.8	1.34	1.50

همچنین مهم‌ترین و پرکاربردترین روش‌های وزن‌دهی در حذف گسترش‌های فازی عبارت‌اند از:

جدول ۲: روش‌های وزن‌دهی در حذف گسترش‌های فازی

Weighting function	Peak Sidelobe dB	Loss dB	Integration Sidelobe dB
Without Window	-29.3	-	-14.4
Hamminh	-59.9	1.36	-4
Hanning	-99.2	1.77	-15.3
Blackman	-98.8	2.38	-9.9
Kaiser	-67.4	1.34	-4.4
Blackman-Harris	-119.1	3.02	-16.4
Tukey	-99.2	1.77	-15.3

Flattop	-82.4	4.44	-11.9
Bohman	-71.7	2.53	-9.3
Barlett	-40.9	1.26	-16.2
Barthann	-54.0	1.64	-15.5

۳. دنباله‌های چند فازی

به‌منظور بهره‌گیری از فشرده‌سازی در تکنیک طیف گسترده و فشرده‌سازی پالس در رادار از دنباله‌های چند فازی استفاده می‌شود که مهم‌ترین آن‌ها عبارت‌اند از: کد فرانک، کد Zadof-chu، کد Golomb، کد Quadriphase، کد Complementary، کد Welte و... که یکی از متداول‌ترین آن‌ها کد فرانک است.

۳-۱ کد فرانک

در این نوع کد، یک پالس ساده با طول T' به یک گره پالس N تایی تقسیم می‌شود؛ که هر گروه به‌نوبه خود به N زیر پالس دیگر با طول ΔT تقسیم می‌گردد. از این‌رو تعداد همه زیر پالس‌ها N^2 است و نسبت فشرده‌سازی $\xi = N^2$ خواهد بود. همان‌طور که قبلاً گفتیم فاز هر زیر پالس نسبت به یک سیگنال مرجع CW ثابت نگه داشته می‌شود.

یک کد فرانک با N^2 زیر پالس به کد فرانک N فازی برمی‌گردد. اولین قدم در محاسبه کد فرانک این است که 360° درجه را به N قسمت تقسیم کنیم و نمو $\Delta\phi$ را به‌صورت زیر تعریف کنیم:

$$\Delta\phi = \frac{360^\circ}{N} \quad (4)$$

باید توجه نمود که با افزایش تعداد گروه‌ها (N)، اندازه کاهش می‌یابد و این مسئله به علت پایداری فاز، ممکن است که کیفیت عملکرد کدهای فرانک طولانی را کاهش دهد. برای کد فرانک N فازی، فاز هر زیر پالس از ماتریس زیر محاسبه می‌شود:

$$\begin{pmatrix} 0 & 0 & 0 & 0 & \dots & 0 \\ 0 & 1 & 2 & 3 & \dots & N-1 \\ 0 & 2 & 4 & 6 & \dots & 2(N-1) \\ \dots & \dots & \dots & \dots & \dots & \dots \\ \dots & \dots & \dots & \dots & \dots & \dots \\ 0 & (N-1) & 2(N-1) & 3(N-1) & \dots & (N-1)^2 \end{pmatrix} \Delta\phi \quad (5)$$

که هر ردیف نشان دهنده یک گروه و هر ستون ماتریس فوق نشان دهنده زیر پالس های گروه هاست. برای مثال در یک کد فرانک ۴ فازی، $N=4$ است و نمو $\phi\Delta = 90^\circ$. به صورت زیر است:

$$\begin{pmatrix} 0 & 0 & 0 & 0 \\ 0 & 90^\circ & 180^\circ & 270^\circ \\ 0 & 180^\circ & 0 & 180^\circ \\ 0 & 270^\circ & 180^\circ & 90^\circ \end{pmatrix} \Rightarrow \begin{pmatrix} 1 & 1 & 1 & 1 \\ 1 & j & -1 & -j \\ 1 & -1 & 1 & -1 \\ 1 & -j & -1 & j \end{pmatrix} \quad (6)$$

۲-۳ کدهای P1, P2, Px

این کدهای اصلاح شده کد فرانک با ترم فرکانسی DC در وسط پالس به جای ابتدای آن می باشند. کد PX پیک های لوب های جانبی نامنظم مشابه کد فرانک دارد با این تفاوت که سطح مجموع لوب های جانبی آن پایین تر است. باین وجود کد PX برخلاف کد فرانک یک کد کامل (با تابع همبستگی متناوب ایده آل)، نیست. کدهای P1 و P2 نیز مشابه دو کد مذکور هستند با این تفاوت که کد P2 برای مقادیر زوج L تعریف می شود. کد P1 مشابه کد فرانک یک کد کامل است و برای L های فرد رفتار تابع ابهام آن مانند کد فرانک و برای L زوج مشابه کدهای P2 و PX است. روابط فازی برای این کدها، در معادلات زیر نمایش داده شده است:

$$P1: \Phi_{n,k} = \frac{2\pi}{L} [(L+1)/2 - n] [(L+1)/2 - n] \quad (7)$$

$$Px: \Phi_{n,k} = \begin{cases} \frac{2\pi}{L} [(L+1)/2 - k] [(n-1)L + (k-1)], & \text{Leven} \\ \frac{2\pi}{L} [L/2 - k] [(L+1)/2 - n], & \text{Lodd} \end{cases} \quad (8)$$

۴. فیلتر Woo

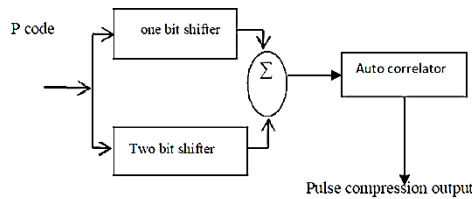
فیلتر Woo توسط Hugh D.Griffiths و Woo-Kyung Lee تحت عنوان یک روش نوین در فشرده سازی پالس برای کدهای چند فازی به همراه ساید لوب های پایین در سال ۲۰۰۰ میلادی ارایه شد. فیلتر Woo یک ترکیب خطی بهینه از فیلتر منطبق برای سیگنال LFM است که برای راه اندازی کدهای فازی مورد استفاده قرار می گیرد. اساس این فیلتر ترکیب دو یا چند فیلتر همبستگی نظیر Ω_1 و Ω_2 جهت تولید یک فیلتر تحت عنوان فیلتر Woo است. این فیلتر به سه شکل مختلف مطرح شده که در ادامه به توضیح آنها می پردازیم. اگر دنباله چند فازی $S(t)$ به طور مستقیم توسط یک سیگنال FM خطی قراردادی راه اندازی شود می توان این سیگنال را به شکل رابطه زیر نوشت:

$$S(t) = \sum_{p=0}^N \exp\left(j\frac{\pi}{2} p^2\right) U\left[\frac{t - \left(p + \frac{1}{2}\right)t_b}{t_b}\right] \quad (9)$$

که $U(t)=1$ به از $|t| < 1/2$ و در سایر موارد صفر و t_b زمان تناوب یک المان از دنباله کدها است.

۱-۴ فرمت ۱ برای فیلتر Woo

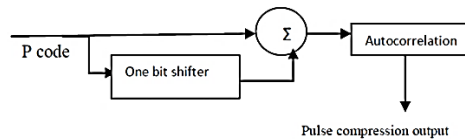
در این حالت دو فیلتر مورد استفاده قرار می‌گیرند که اولین فیلتر دنباله را به اندازه یک بیت و دومین فیلتر دنباله را به اندازه طول زمانی دو بیت شیفت می‌دهد و در ادامه این دو فیلتر باهم ترکیب شده و سیگنال به سمت فیلتر همبستگی مورد نظر ارسال می‌شود:



شکل ۲: فرمت ۱ فیلتر Woo

۲-۴ فرمت ۲ برای فیلتر Woo

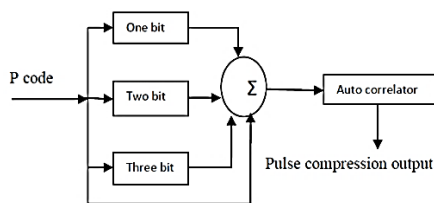
در این حالت سیگنال به اندازه طول زمانی یک بیت از کد شیفت داده شده و سپس با سیگنال اصلی جمع می‌شود و در نهایت به سمت فیلتر همبستگی مورد نظر ارسال می‌شود:



شکل ۳: فرمت ۲ فیلتر Woo

۳-۴ فرمت ۳ برای فیلتر Woo

در این حالت سیگنال ورودی به اندازه یک ، دو و سه بیت شیفت پیدا کرده و سپس با سیگنال اصلی جمع شده و در نهایت به سمت فیلتر همبستگی مورد نظر ارسال می‌شود:



شکل ۴: فرمت ۳ بیت Woo

۵. محاسبات مورد نیاز در امنیت طیف گسترده بدون در نظر گرفتن بهره پردازشی

۵-۱ محاسبه (PSL(Peak to Side lobe Level)

نسبت توان ماکزیمم سیگنال اصلی فیلتر حذف گسترش به بالاترین توان سیگنال گلبرگ‌های کناری از رابطه زیر قابل محاسبه است:

$$PSL = 20 \log_{10} \left\{ \frac{\max_{i \neq 0} (r(i))}{r(0)} \right\} \quad (10)$$

که $(r(i))$ به سطح توان گلبرگ‌های کناری و $(r(0))$ به سطح توان سیگنال اصلی خروجی ناشی از فیلتر حذف گسترش اشاره دارد.

۵-۲ محاسبه (ISL(Peak to Side lobe Level)

مجموع توان سیگنال گلبرگ‌های کناری در خروجی فیلتر حذف گسترش از رابطه ذیل قابل محاسبه است:

$$ISL = 10 \log_{10} \sum_{i=-N}^N \left\{ \frac{r(i)}{r(0)} \right\} \quad (11)$$

۵-۳ محاسبه تضعیف مقدار SNR خروجی فیلتر

به‌طور کلی اصول و مبانی وزن‌دهی باعث کاهش میزان SNR خروجی فیلتر همبستگی می‌شود. (هرچند که عمل وزن‌دهی تأثیر بسزای در کاهش گلبرگ‌های کناری دارد.) مقدار کاهش SNR از رابطه زیر قابل محاسبه است:

$$SNR_{Loss} = \frac{\left(\sum_{n=1}^N W(n) \right)^2}{N \sum_{n=1}^N W(n)^2} \quad (12)$$

که N وابسته به طول دنباله کد سیگنال و $(W(n))$ به ضریب تابع وزن دهی اشاره دارد.

۶. آنالیز نتایج شبیه‌سازی

توابع وزدن دهی مختلفی جهت کاهش PSL مورد استفاده قرار می‌گیرند که نتایج آن‌ها در جداول زیر آمده است:

جدول ۳: مقایسه استفاده از وزندهی مختلف در خروجی همبستگی بدون استفاده از فیلتر Woo (با دنباله کد ۲۰۰ تایی)

Without Woo Filter Weighting function	PSL dB	ISL dB	SNR Loss dB
Without Window	-29.3	-14.6	0
Hamminh	-59.9	-4	1.36
Hanning	-99.2	-15.3	1.78
Blackman	-98.8	-9.9	2.39
Kaiser	-67.4	-4.1	1.35
Blackman-Harris	-119.1	-16.4	3.03
Tukey	-99.2	-15.3	1.78
Flattop	-81.9	-13.1	4.45
Bohman	-71.7	-9.3	2.54
Barlett	-40.9	-16.2	1.27

جدول ۴: مقایسه استفاده از وزندهی مختلف در خروجی همبستگی با استفاده از فیلتر Woo (با دنباله کد ۲۰۰ تایی)

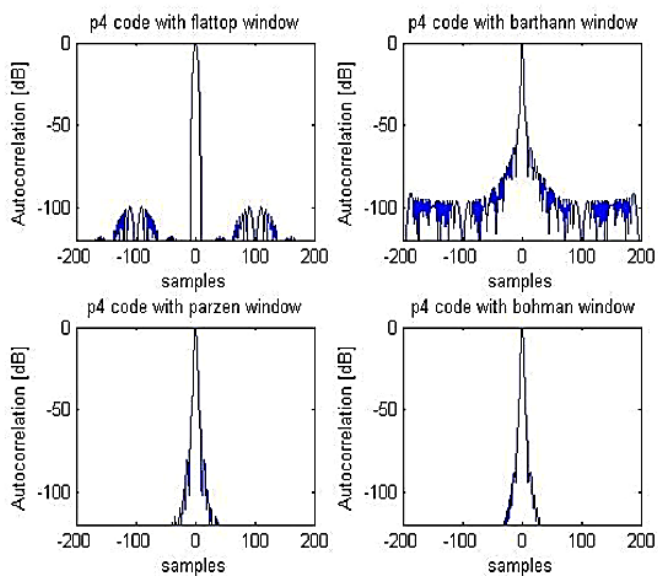
With Woo Filter Weighting function	PSL dB	ISL dB	SNR Loss dB
Without Window	-67.2	-19.1	0
Hamming	-94.1	-16.1	1.36
Hanning	-119.9	-15.4	1.77
Blackman	-112.9	-12.3	2.38
Kaiser	-88.6	-16.3	1.34
Blackman-Harris	-130.9	-18.6	3.02
Tukey	-119.9	-15.4	1.77
Flattop	-93.5	-16.9	4.44
Bohman	-77.8	-16.6	2.53
Barlett	-47.9	-10.2	1.26
Brarthann	-60.5	-10.3	1.64

جدول شماره ۴ عملکرد کد P4 با استفاده از فیلتر Woo و سایر وزندهی‌های دیگر را نشان می‌دهد و ملاحظه می‌شود که استفاده از این فیلتر نقش عمده‌ای در کاهش PSL و ISL دارد که این دو فاکتور مهم در جنگ الکترونیک و افزایش امنیت کد نقش اصلی را ایفا می‌کنند.

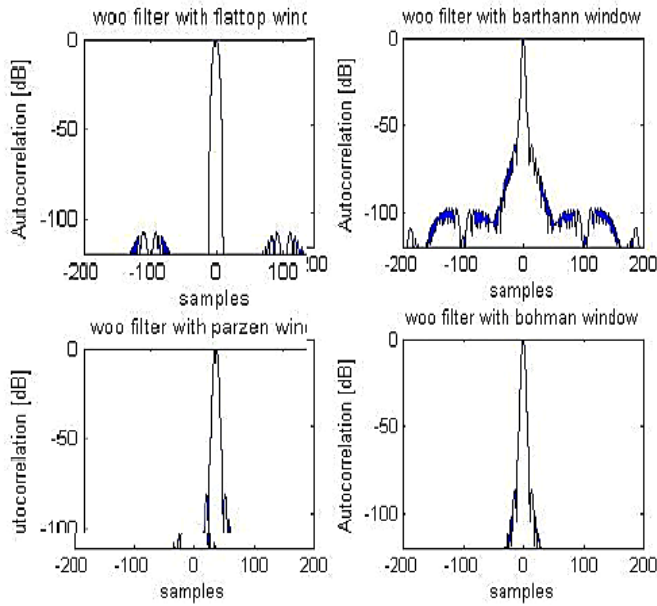
جدول ۵: مقایسه استفاده از وزندهی مختلف در خروجی همبستگی با استفاده از فیلتر Woo (با دنباله کد ۱۰۰۰ تایی)

(تایی)

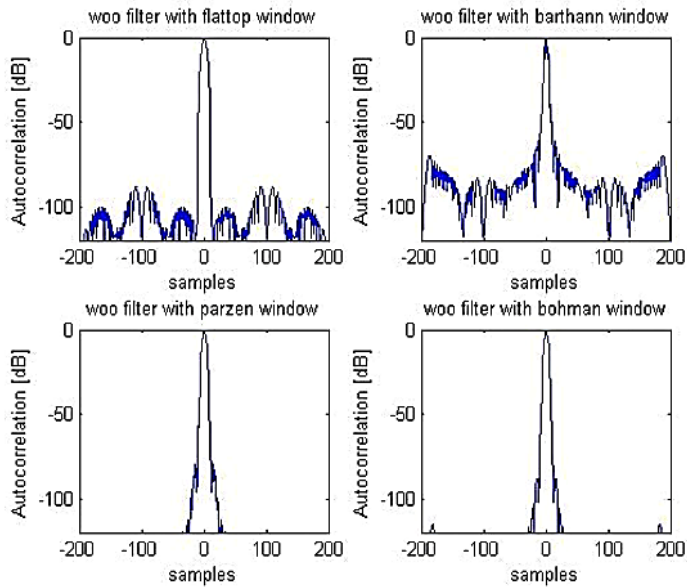
With Woo Filter Weighting function	PSL dB	ISL dB	SNR Loss dB
Without Window	-67.2	-19.1	0
Hamming	-94.1	-16.1	1.36
Hanning	-119.9	-15.4	1.77
Blackman	-112.9	-12.3	2.38
Kaiser	-88.6	-16.3	1.34
Blackman-Harris	-130.9	-18.6	3.02
Tukey	-119.9	-15.4	1.77
Flattop	-93.5	-16.9	4.44
Bohman	-77.8	-16.6	2.53
Barlett	-47.9	-10.2	1.26
Brarthann	-60.5	-10.3	1.64



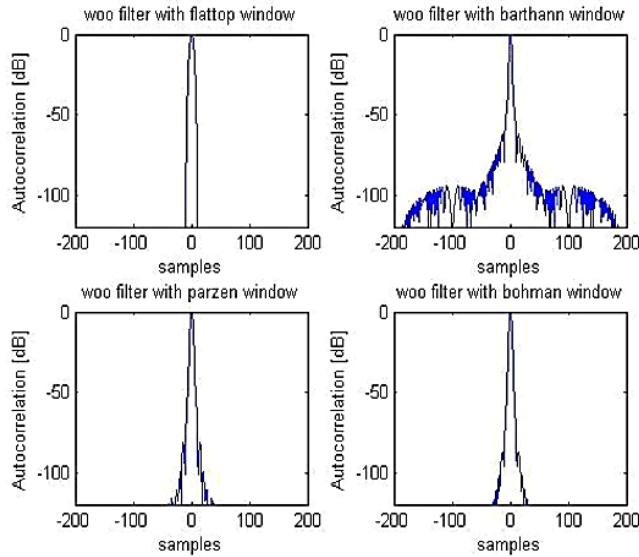
شکل ۵: مقایسه خروجی تابع همبستگی کد P4 با تکنیک چند وزن دهی مختلف (با طول کد ۲۰۰ و بدون استفاده از فیلتر WOO)



شکل ۶: مقایسه خروجی تابع همبستگی کد P4 با تکنیک چند وزن‌دهی مختلف (با طول کد ۲۰۰ و با استفاده از فیلتر WOO)



شکل ۷: مقایسه خروجی تابع همبستگی کد P3 با تکنیک چند وزن‌دهی مختلف (با طول کد ۲۰۰ و بدون استفاده از فیلتر WOO)



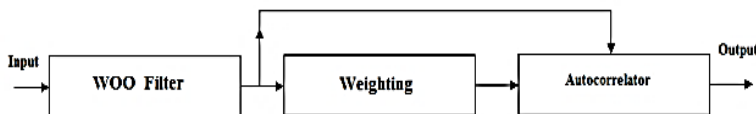
شکل ۸: مقایسه خروجی تابع همبستگی کد P3 با تکنیک چند وزن دهی مختلف (با طول کد ۲۰۰ و با استفاده از فیلتر WOO)

تشکر و قدردانی

از تمامی دانشجویان تحصیلات تکمیلی دانشگاه پدافند هوایی خاتم الانبیاء(ص) که در این پژوهش به عنوان نمونه پژوهش حضور داشتند، تشکر و قدردانی می‌نماییم.

۷. نتیجه‌گیری

همان‌گونه که در این تحقیق بررسی شد با استفاده از فیلتر WOO به کمک یکی از معماری‌های سه‌گانه آن امنیت سامانه‌های طیف گسترده‌ای که از دنباله‌های چند فازی استفاده بهره می‌برند و یا سامانه‌هایی نظیر رادار که از این نوع فشرده‌سازی پالس استفاده می‌کنند در مقابل اخلاص نویز عمدی و یا تداخل‌های سیگنالی، تا حد بسیار زیادی بهبود می‌یابد که این ارتقاء امنیت همان‌گونه که از اشکال ۵ تا ۹ مشاهده می‌شود وابسته به طول کدها است و جهت بهره‌برداری از این فناوری شکل کاربردی ۹ پیشنهاد می‌گردد.



شکل ۹: نمونه طرح پیشنهادی جهت کاربرد فیلتر WOO در سامانه‌های طیف گسترده‌ای که از کدهای فازی بهره

می‌برند

تعارض منافع

هیچ گونه تعارض منافع از سوی نویسندگان گزارش نشده است.

۸. منابع

- [1] Merrill I. Skolnik, Introduction to radar systems, McGraw Hill Book Company Inc., 1962.
- [2] J.G. Proakis, Digital Communications, 2nd Ed. New York: McGraw-Hill, 1995.
- [3] Robert Dixon. Spread Spectrum Communications., Second Edition, John Wiley and Sons, New York, 1984.
- [4] Raymond L. Picholtz, Donald L. Schilling, Laurence B. Milstein. "Theory of Spread Spectrum Communications — A Tutorial," IEEE Transactions on Communications, Vol.COM-30, May 1982, pp. 855-884.
- [5] R. L. Frank, "Polyphase Codes with Good Non periodic Correlation Properties", IEEE Trans. on Information Theory, vol. IT-9, pp. 43-45, Jan. 1963.
- [6] Singh. S.P, and K. Subba Rao., "Sixty-phase Sequences Design with Good Autocorrelation Properties", IETE JOURNAL OF RESEARCH | Vol 57 | ISSUE 3, pp -250-256, May-jun 2011.
- [7] Singh S.P, and K. Subba Rao., "A modified simulated annealing algorithm for binary coded radar signal design", Proc of International Radar Symposium India-2005, pp 693-697, 19-22 Dec 2005.
- [8] Vijay Ramya K., A.K.Sahoo., G.Panda, "Side lobe Suppression Techniques for Polyphase Codes in Radar", International Journal of Computer Applications, 2011
- [9] R. L. Frank, "Polyphase Codes with Good Non periodic Correlation Properties", IEEE Trans. on Information Theory, vol. IT-9, pp. 43-45, Jan. 1963.
- [10] W.K.Lee, H.D.Griffiths and R.Benjamin. "Integrated sidelobe energy reduction technique using optimal polyphase codes", Electronic letter, Vol.35, No.24, Nov.1999.
- [11] W.K.Lee, H.D.Griffiths. "Pulse compression filters generating optimal uniform range sidelobe level". Electronic Letter 1999, Vol. 35.No.11.
- [12] Woo-Kyung lee. "A Pair of asymmetrical weighting receivers and polyphase codes for efficient aperiodic correlations." IEEE Communication Letters Vol.10, No.5, May 2006
- [13] Woo-Kyung lee, Hugh D.Griffiths. "A new pulse compression Techniques Generating Optimal uniform Range sidelobe and reducing integrated sidelobe level." IEEE International Radar Conference 2000.
- [14] W.K.Lee, H.D.Griffiths, "Development of modified polyphase P codes with optimum Sidelobe characteristics." IEEE Proc.Radar, Sonar Navig, Vol. 151, pp. 210-220, Aug.2004.